

СИНТЕЗ ПРОЦЕДУР ПРЕДСКАЗАНИЯ ДЛЯ АЛГОРИТМОВ АДАПТИВНОЙ ДИСКРЕТИЗАЦИИ ДВУМЕРНЫХ ПОЛЕЙ

1. А к т у а л ь н о с т ь з а д а ч и

При автоматизации исследований природных ресурсов Земли (ИПРЗ) скатие данных измерений - двумерных спектрозональных параметрических полей - особенно актуально. Известно несколько эффективных апертурных методов [1], [2] скатия двумерных полей, синтезированных в рамках равномерного критерия верности скатых данных и реализуемости в темпе измерений. Однако при скатии "мелкодетальных" фрагментов полей ИПРЗ, имеющих малую верность прямолинейности контурных переходов вдоль трех и более отсчетов поля, эффективность метода [1] в лучшем случае совпадает с эффективностью одномерных алгоритмов АД [1], [2]. Метод [2] более предпочтителен при произвольном значении этого параметра поля, так как обеспечивает достаточно высокую гарантированную эффективность скатия при любой пространственной конфигурации контурных переходов. Тем не менее, синтезированные на его основе алгоритмы [2] обладают в области малых апертур скатии невысокой относительной эффективностью по сравнению с одномерной АД вследствие низкой помехоустойчивости используемых процедур предсказания контурной составляющей поля. Это вызывает необходимость синтеза помехоустойчивых процедур предсказания в рамках указанного метода.

2. М о д е л ь п о л я

Поле ИПРЗ $u(m, \tau)$, задаваемое на прямоугольной сеточной области $D: \{m \in [1, M]; \tau \in [1, \infty)\}$, где m - номер отсчета в строке, а τ - номер строки развертки, представляется в процессе измерений КИМ-сигналом [2] $z(t)$ при $t = m + (\tau - 1)M$ в виде суммы контурной - $S(t)$ и полутонной - $Y(t)$ составляющих. Анализ полей ИПРЗ показал, что адекватной моделью $Y(t)$ является белый гауссовский шум с нулевым средним, а $S(t)$ - кусочно-постоянная функция с разрывами

на контурах. Тогда при любой пространственной ориентации контуров отсчеты модели $q^s(t)$ сигнала $S(t)$ задаются в процессе развертки нулевой экстраполяцией "новых" или ранее предсказанных значений ближайших соседних отсчетов $\{q^s(t_i)\}_{i=\overline{1,4}} = \{q^s(t-1), q^s(t-M-1), q^s(t-M), q^s(t-M+1)\}$. В этом случае развертку можно последовательно разбить на интервалы, где $q^s(t)$ принадлежит классу моделей $Q_i^s \ni q_i^s(t)$ с контурами, проходящими через узлы t и t_i сеточной области D , т.е. вдоль направлений (фаз) φ_i из Φ : $\{\varphi_1 = 180^\circ, \varphi_2 = 135^\circ, \varphi_3 = 90^\circ, \varphi_4 = 45^\circ\}$ относительно развертки. При описании такой модели необходимо указать на каждом интервале "новое" значение экстраполяционного отсчета и (или) принадлежность $q^s(t)$ определенному классу $Q_i^s (i = \overline{1,4})$.

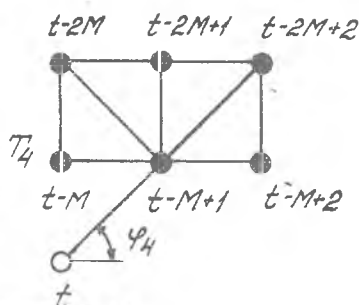
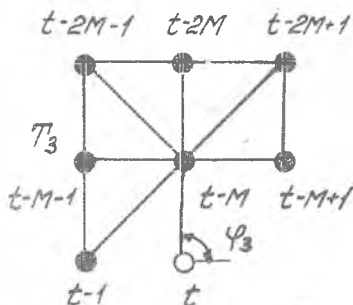
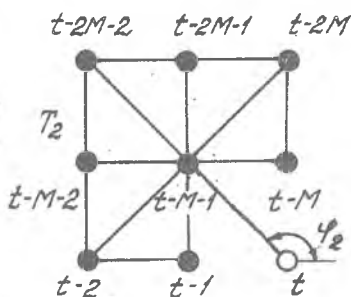
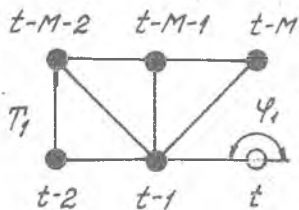
3. П р о ц е д у р ы п р е д с к а з а н и я

Подобное представление поля положено в основу алгоритма сжатия [2], у которого в процессе дискретизации $u(t)$ производится нулевое многофазное (по ϕ) предсказание $u(t)$ по ранее предсказанным и восстановленным из сжатых данных значениями отсчетов $\{q^u(t_i)\}_{i=\overline{1,4}}$ с последующей автономной АВД i -ых ошибок предсказания $e_i(t) = u(t) - q_i^u(t) = u(t) - q^u(t_i)$ интерполятором нулевого порядка. Существенными координатами на каждом интервале АВД является фаза - φ_k , обеспечивающая максимум интервала АВД, и интерполяционная оценка k -й ошибки предсказания - разность $q^u(t) - q^u(t_k)$.

Ниже предлагаются две процедуры помехоустойчивого порогового предсказания для указанного алгоритма, основанные на линейной фильтрации полутоновой составляющей поля. Для первой - предсказываемые значения $q_i^u(t)$ поля $u(t)$ формируются экстраполирующими анизотропными (по φ_i) линейными фильтрами с переменной структурой и параметрами, т.е.

$$q_i^u(t) = A_i \left[\{q^u(t_{ij})\}_j \right] = \sum_{t_{ij} \in G_i(t)} \alpha_{ij}(t) q^u(t_{ij}), \quad (I)$$

где $G_i(t) \subseteq T_i = \{t_{ij}\}_j$ (рис.1), причем $G_i(t)$ - варьируемое подмножество T_i , а $\alpha_{ij}(t)$ - некоторые переменные коэффициенты. Тогда при малых апертурах сжатия наилучшая помехоустойчивость (I) обеспечивается следующими условиями



Р и с. I. Множества T_i узлов $t_{ij} < t$ порогового анизотропного предсказания (линии указывают возможные направления контуров)

$$\begin{cases} (y(t) - A_i \{ \{ y(t_{ij}) \}_j \})^2 \rightarrow \min \\ q^s(t) - A_i \{ \{ q^s(t_{ij}) \}_j \} = 0; q^s(t) \in Q_i^s, i = \overline{1,4}. \end{cases} \quad (2)$$

Поскольку на T_i возможна любая конфигурация контуров, проходящих через узлы t_i и $t_{ij} \neq t_i$ (см. рис. I), то согласно (2) подмножество $G_i(t)$ определяется такими $t_{ij} \in T_i$, для которых

$$|q^u(t_i) - q^u(t_{ij})| < \sigma. \quad (3)$$

Издесь $\sigma > 0$ - порог распознавания контуров поля. Очевидно, что (*) удовлетворяют $\alpha_{ij}(t) = (V[G_i(t)])^{-1}$, где $V[*]$ - объем G_i в момент t .

Вторая процедура использует предсказание (I) только в окрестности контуров, т.е. при

$$\sup_{i=\overline{1,4}} q^u(t_i) - \inf_{i=\overline{1,4}} q^u(t_i) > \sigma. \quad (4)$$

Вне контуров, т.е. при нарушении (4), строится линейное изотропное предсказание

$$q_i^u(t) = q^u(t) = A \left[\{q^u(t_i)\}_i \right] = \sum_{i=1}^4 \alpha_i q^u(t_i), \quad (5)$$

где α_i - постоянные коэффициенты, определяемые по аналогии с (I) следующими условиями

$$\begin{cases} (y(t) - A \{y(t_i)\}_i)^2 \rightarrow \min \\ q^s(t) - A \{q^s(t_i)\}_i = 0; q^s(t) \in Q^s. \end{cases} \quad (6)$$

Здесь Q^s - множество постоянных значений $S(t)$ внутри контуров.

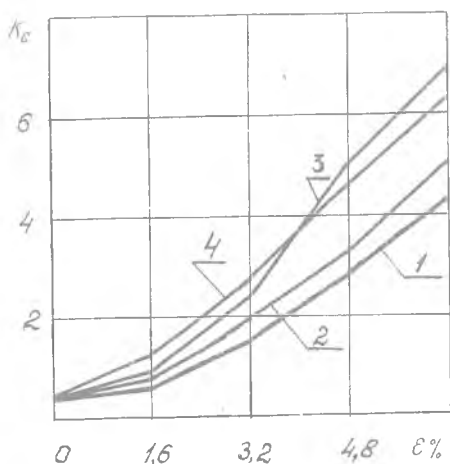
Из (6) следует, что $\alpha_i = 0,25$ ($i = \overline{1,4}$).

Особенностью второй процедуры является то, что если (4) не выполняется на всем интервале АВД, то в качестве существенной координаты фиксируется только интерполяционная оценка погрешности предсказания.

4. Анализ эффективности

Оценка эффективности - коэффициента сжатия по двоичным разрядам осуществлялась путем цифрового моделирования алгоритма сжатия [2] с рассмотренными процедурами предсказания на мелкодетальном фрагменте поля ИПРЗ, полученного с самолетной лаборатории ИКИ АН СССР в виде КИМ-сигналов разрядности 8 бит. Существенные координаты кодировались равномерным кодом значностью 8 бит. Временные даты АВД кодировались вместе с q_k одним кодовым словом, а значения σ выбирались экспериментально из условия максимума эффективности сжатия.

Результаты моделирования (см. рис. 2) подтвердили более высокую эффективность сжатия, не менее чем на (40±50)% относительно одномерной АВД, в диапазоне $\varepsilon_0 \% = (1,6 \pm 6,4) \%$ при $\sigma \approx 8 \cdot + 0,5 \varepsilon_0 \exp \{-0,05 \varepsilon_0\}$.



Р и с. 2. Зависимость эффективности K_c от относительной (к шкале) допустимой погрешности дискретизации ϵ_0 % для одномерной АВД нулевым интерполятором (кривая 1), алгоритма 2 (кривая 2), первой (кривая 3) и второй (кривая 4) процедур порогового предсказания

Л и т е р а т у р а

1. С е р г е е в В.В. Некоторые алгоритмы предсказания для дифференциального кодирования изображений. Тезисы докладов УП Всесоюзного симпозиума по проблеме избыточности в информационных системах. Ч.П., Ленинград, 1977, с. 128-131.
2. В и т т и х В.А., Я м о в и ч А.А. Адаптивная дискретизация параметрических полей. Тезисы докладов УП Всесоюзного симпозиума по проблеме избыточности в информационных системах. Ч.П., Ленинград, 1977, с. 113-116.